

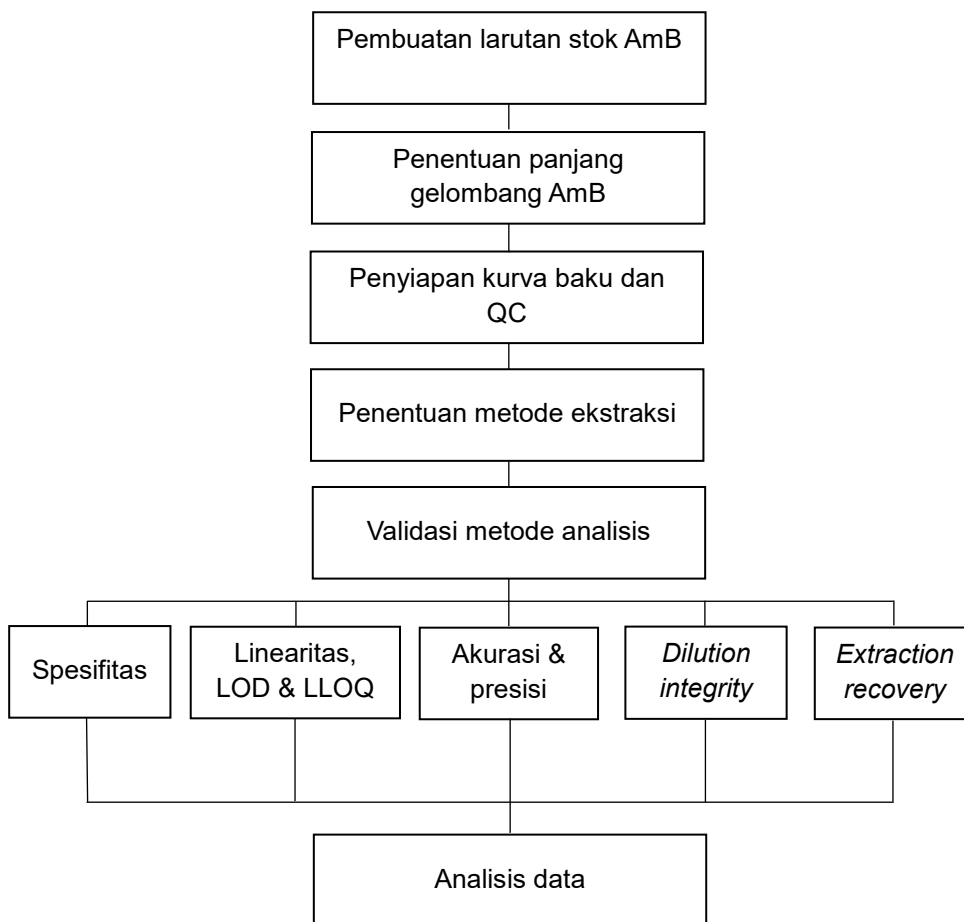
DAFTAR PUSTAKA

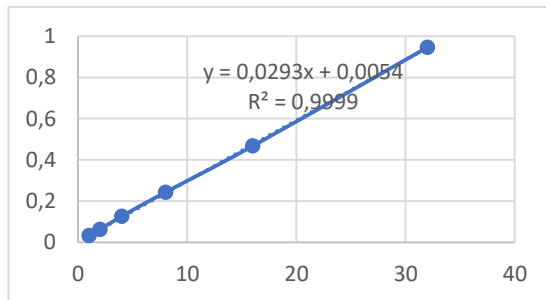
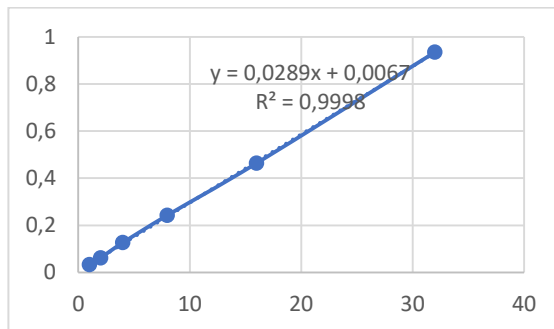
- Abriyani, E., Mentari, M., Susanti, E. I., Dinanti, D., dan Warsilo, A. M. A. P. 2022. Analisis Kurkumin pada Famili Zingiberaceae Menggunakan Spektrofotometri UV-Vis. *Jurnal Pendidikan dan Konseling (JPDK)*. Vol 4 (6): 11474 – 11479.
- Alegria, A. M. G., Corona, I. A., Martinez, C. J. P., Maduenom M. A. G. C., Duran, M. L. R., dan Garcia, H. A. 2020. Quantification of DNA Through the NanoDrop Spectrophotometer: Methodological Validation Using Standar Reference Material and Speague Dawley Rat and Human DNA. *Internasional Journal of Analytical Chemistry*.
- Asis, M. A., Purnawansyah, dan Manga, A. R. 2020. Penerapan System Development Life Cycle pada Sistem Validasi Metode Analisis Sediaan Farmasi. *Buletin Sistem Informasi dan Teknologi Islam*. Vol 1 (3): 145 – 149.
- Capitain, C dan Weller, P. 2021. Non-targeted Screening Approaches for Profiling of Volatile Organic Compounds Based on Gas Chromatography-Ion Mobily Spectroscopy (GC-IMS) and Machine Learning. *Molecules*. Vol 26 (18): 54 – 57.
- Cuddihy, G., Asan, E., Yunyun, D., dan Wasan, K. 2019. The Development of Oral Amphotericin B to Treat Systemik Fungal and Parasitic Infection: Has the Myth Been Finally Realized?. *Pharmaceutics*. Vol 11(3): 1 – 16.
- Depkes, RI. 2020. *Farmakope Indonesia Edisi VI*. Jakarta: Departemen Kesehatan Republik Indonesia.
- Donchenko, A., Vasyuk, S., dan Nahorna, N. 2023. Extraction-free Spectrophotometric Determination of Meloxicam Using Bromothymol Blue. *J. Fac. Pharm. Ankara*. Vol 47 (3): 752 – 760.
- Dwiyanti, S. P., Irawan, D. A. H., Abbas, Z. A., Utami, M. R., dan Nurfadhila, L. 2023. Validation of Drug Compound Analysis Method in Biological Samples (Urine). *Journal of Pharmaceutical and Sciences*. Vol 6 (2): 885 – 891.
- ICH. 2022. Validation of Analytical Procedures: ICH Guidelines Q2(R2). *ICH Harmon. Guidel*. Vol 2: 1 – 34.
- Jarvis, N. J., Lawrence, D., Meya, D. B., Kagimu, E., Kaibante, J., Mpoza, E., Rutakingirwa, M. K., Sebambulidde, K., Tugume, L., Rhein, J., Bouware, D. R., Mwandumba, H. C., Moyo, M., Mzinganjira, H., Meintjes, G., Schutz, C., dan Comins, K. 2022. Single-Dose Liposomal Amphotericin B Treatment for Cryptococcal Meningitis. *The New England Journal of Medicine*. Vol 386(12): 1109 – 1120.
- Khosrowshahi, E. M., Mogaddam, M. R. R., Javadzadeh, Y., Allunay, N., Tuzen, M., Kaya, S., dan Nemali, M. 2022. Experimental and Density Functional Theoretical Modelling of Triazole Pesticides Extraction by Ti2C Nanosheets as a Sorbent in Dispersive Solid Phase Extraction Method Before HPLC-MS/MS Analysis. *Microchemical Journal*. Vol 178: 107331.
- Liu, S., Li, Z., Yu, B., Wang, S., Shen, Y., dan Cong, H. 2020. Recent Advances on Protein Separation and Purification Methods. *Advances in Colloid and Interface Science*. Vol 284 (102254).
- Liu, Z., Wang, S., Dong, F., Lin, Y., Li, H., Shi, L., Wang, Z., dan Zhang, J. 2020. Comprehensive Analysis of Resveratrol Metabolites in Rats Using Ultra

- High Performance Liquid Chromatography Coupled with High Resolution Mass Spectrometry. *Arabian Journal of Chemistry*. Vol 13 (9): 7055 – 7065.
- Maryam, F., Utami, Y. P., Mus, S., dan Rohana, R. 2023. Perbandingan Beberapa Metode Ekstraksi Ekstrak Etanol Daun Sawo Duren (*Chrysophyllum cainilo* L.) terhadap Kadar Flavonoid Total Menggunakan Metode Spektrofotometri UV-Vis. *Jurnal Mandala Pharmacoon Indonesia*. Vol 9 (1): 132 – 138.
- Mutlu-Agardan, N. B., Yilmaz, S., Kaynak, O. F., dan Celebi, N. 2021. Development of Effective AmB/AmB-aCD Complex Double Loaded Liposomes Using A Factorial Design for Systemic Fungal Infection Treatment. *Journal of Liposome Research*. Vol 31 (2): 177 – 188.
- Nath, L., Laldinchhana, Choudhury, A. C., Barakoti, H., dan Devi, C. M. 2020. Development and Validation of UV-Vis Spectrophotometric Method for Estimation of Amphotericin B. *Research J. Pharm and Tech*. Vol 13 (1): 55 – 59.
- Nugrahaningsih, W. H., dan Afanin, S. I. 2022. Farmakokinetika Flavonoid Ekstrak Daun Tin pada Plasma Darah Tikus. *Life Science Journal of Biology*. Vol 11 (2): 192 – 2015.
- Nurmaulawati, R., Purwidyaningrum, I., dan Indrayati, A. 2021. Kajian Literatur Uji Aktivitas Antikanker Payudara Tanaman Ranti (*Solanum nigrum* Linn.) Secara *In vitro* dan *In vivo*. *Pharmacy Medical Journal*. Vol 4 (2): 44 – 53.
- Pippa, L. F., Marques, M. P., Silva, A. C. T. D., Vilar, F. C., Haes, T. M. D., Fonseca, B. A. L. D., Martinez, R., Coelho, E. B., Wichert-Ana, L., dan Lachote, V. L. 2021. Sensitive LC-MS/MS Method for Amphotericin B Analysis in Cerebrospinal Fluid, Plasma, Plasma Ultrafiltrate, and Urine: Application to Clinical Pharmacokinetics. *Sec. Analytical Chemistry*. Vol 9.
- Rios, A., Batain, F., Barros., C., Paula, D., Martins, M., Chaud, M., dan Alves, T. 2021. Development and Validation of a Fast and Selective HPLC Method for the Determination of Amphotericin B in Nose-to-Brain Nanoliposome. *Letters in Applied NanoBioScience*. 10 (2) : 2309-2319
- Sahloul, L., dan Salami, M. 2023. Development and Validation of a New Analytical Method for Determination of Linagliptin in Bluk by Visible Spectrophotometer. *Scientific Reports*. Vol 13 (1): 4083.
- Sulistiawati, Enggi, C. K., Isa, H. T., Wijaya, S., Ardika, K. A. R., Asri, R. M., Donnelly, R. F., dan Permana, A. D. 2022. Validation of Spectrophotometric Method to Quantify Cabotegravir in Simulated Vaginal Fluid and Porcine Vaginal Tissue in *Ex Vivo* Permeation and Retention Studies from Thermosensitive and Mucoadhesive Gels. *Spectrochimica Acta Part A: Molecula and Biomolecular Spectroscopy*. 267(2): 1 - 12.
- Verma, G dan Mishra, M. 2018. Development and Optimization of UV-Vis Spectroscopy-a Review. *World J. Pharm. Res*. Vol 7 (11): 1170 – 1180.
- Wen, J., Peitz, M., dan Bruslle, O. 2022. A defined Human-Specific Platform for Modeling Neuronal Network Stimulation In Vitro and In Silico. *Journal of Neuroscience Methods*. Vol 373.
- WHO. 2022. *Guidelines for Diagnosing, Preventing and Managing Cryptococcal Disease among Adults, Adolescents and Children Living with HIV*. <https://www.who.int/publications/i/item/9789249952178>. Diakses tanggal 2 Oktober 2023.

LAMPIRAN

Lampiran 1. Skema Kerja



Lampiran 2. Kurva Baku AmB**Gambar 3.** Kurva linear AmB dalam jaringan mukosa hidung**Gambar 4.** Kurva linear AmB dalam jaringan otak

Lampiran 3. Perhitungan Larutan Stok dan Seri Pengenceran

Lampiran 3.1. Perhitungan larutan stok

Dibuat larutan stok AmB konsentrasi 1000 ppm dalam labu tentukur 10 mL. Maka, jumlah AmB yang ditimbang yaitu:

$$M \text{ (ppm)} = \frac{\text{Bobot AmB } (\mu\text{g})}{\text{Volume pelarut (mL)}}$$

$$1000 \text{ ppm} = \frac{\text{Bobot AmB } (\mu\text{g})}{10 \text{ mL}}$$

$$\text{Bobot AmB} = 1000 \times 10$$

$$= 10.000 \mu\text{g} \text{ atau } 10 \text{ mg}$$

Lampiran 3.1. Perhitungan seri pengenceran

Larutan stok 1000 ppm diencerkan ke 100 ppm sebanyak 1 mL

$$M1.V1 = M2.V2$$

$$1000 . V1 = 100 . 1$$

$$V1 = 0,1 \text{ mL atau } 100 \mu\text{L (Larutan yang dicuplik)} + 900 \mu\text{L (pelarut)}$$

Selanjutnya, dibuat larutan seri sebesar 32 ppm sebanyak 1 mL dari larutan AmB 100 ppm.

$$M1.V1 = M2.V2$$

$$100 . V1 = 32 . 1$$

$$V1 = 0,32 \text{ mL atau } 320 \mu\text{L (Larutan yang dicuplik)} + 680 \mu\text{L (pelarut)}$$

Lampiran 4. Perhitungan %*Extraction Recovery*

Lampiran 4.1. Perhitungan %*extraction recovery* AmB dalam mukosa hidung

Tabel 8. Absorbansi yang diperoleh pada pengukuran %*extraction recovery* pada jaringan mukosa hidung

Pelarut	Metode	Replikasi	Absorbansi
Metanol	A	1	0,126
		2	1,104
		3	0,114
	B	1	0,393
		2	0,552
		3	0,465
	C	1	0,903
		2	0,822
		3	0,748
	D	1	0,991
		2	0,796
		3	0,817
asetonitril	A	1	0,043
		2	0,039
		3	0,051
	B	1	0,076
		2	0,081
		3	0,098
	C	1	0,103
		2	0,122
		3	0,132
	D	1	0,298
		2	0,301
		3	0,443
Larutan AmB murni sebagai pembanding	1	1,098	
	2	1,211	
	3	1,092	

%*extraction recovery* metanol metode A

$$\begin{aligned}
 1. \quad \%extraction\ recovery &= \frac{\text{Absorbansi larutan setelah ekstraksi}}{\text{Rata-rata absorbansi larutan AmB murn}} \times 100\% \\
 &= \frac{0,126}{1,133} \times 100\% \\
 &= 11,16\%
 \end{aligned}$$

$$\begin{aligned}
 2. \quad \%extraction\ recovery &= \frac{\text{Absorbansi larutan setelah ekstraksi}}{\text{Rata-rata absorbansi larutan AmB murn}} \times 100\% \\
 &= \frac{0,104}{1,133} \times 100\% \\
 &= 9,20\%
 \end{aligned}$$

$$\begin{aligned}
 3. \quad \% \text{extraction recovery} &= \frac{\text{Absorbansi larutan setelah ekstraksi}}{\text{Rata-rata absorbansi larutan AmB murn}} \times 100\% \\
 &= \frac{0,114}{1,133} \times 100\% \\
 &= 10,08\% \\
 \text{Rata-rata } \% \text{extraction recovery} &= \frac{11,16+9,20+10,08}{3} = 10, 14\% \\
 \text{SD } \% \text{extraction recovery} &= \frac{\sqrt{(10,14 - 11,16)^2 + (10,14 - 9,20)^2 + (10,14 - 10,08)^2}}{3-1} \\
 &= 0,53
 \end{aligned}$$

Lampiran 4.2. Perhitungan %extraction recovery AmB dalam jaringan otak

Tabel 9. Absorbansi yang diperoleh pada pengukuran %extraction recovery pada jaringan otak

Pelarut	Metode	Replikasi	Absorbansi
Metanol	A	1	0,110
		2	1,091
		3	0,099
	B	1	0,342
		2	0,481
		3	0,404
	C	1	0,786
		2	0,716
		3	0,7651
	D	1	0,862
		2	0,693
		3	0,711
asetonitril	A	1	0,037
		2	0,034
		3	0,044
	B	1	0,066
		2	0,070
		3	0,085
	C	1	0,090
		2	0,106
		3	0,115
	D	1	0,259
		2	0,262
		3	0,385
Larutan AmB murni sebagai pembanding	1	1,098	
	2	1,211	
	3	1,092	

%extraction recovery metanol metode A

$$\begin{aligned}
 1. \quad \% \text{extraction recovery} &= \frac{\text{Absorbansi larutan setelah ekstraksi}}{\text{Rata-rata absorbansi larutan AmB murn}} \times 100\% \\
 &= \frac{0,110}{1,133} \times 100\% \\
 &= 9,71\% \\
 2. \quad \% \text{extraction recovery} &= \frac{\text{Absorbansi larutan setelah ekstraksi}}{\text{Rata-rata absorbansi larutan AmB murn}} \times 100\% \\
 &= \frac{0,091}{1,133} \times 100\% \\
 &= 8\% \\
 3. \quad \% \text{extraction recovery} &= \frac{\text{Absorbansi larutan setelah ekstraksi}}{\text{Rata-rata absorbansi larutan AmB murn}} \times 100\% \\
 &= \frac{0,099}{1,133} \times 100\% \\
 &= 8,77\% \\
 \text{Rata-rata \%extraction recovery} &= \frac{9,71+8+8,77}{3} = 8,83\% \\
 \text{SD \% extraction recovery} &= \sqrt{\frac{(8,83-9,71)^2 + (8,83-8)^2 + (8,83-8,77)^2}{3-1}} \\
 &= 0,46
 \end{aligned}$$

Lampiran 5. Perhitungan Uji Linearitas

Lampiran 5.1. Perhitungan linearitas pada larutan seri konsentrasi AmB dalam jaringan mukosa hidung

Tabel 10. Absorbansi hasil pengukuran larutan konsentrasi AmB dalam jaringan mukosa hidung

Konsentrasi ($\mu\text{g/mL}$)	Abs 1	Abs 2	Abs 3
32	0,951	0,981	0,904
16	0,466	0,471	0,465
8	0,244	0,252	0,233
4	0,129	0,122	0,129
2	0,055	0,061	0,071
1	0,028	0,031	0,043

$$\text{Rata - rata absorbansi} = \frac{0,951+0,981+0,904}{3} = 0,945$$

$$\begin{aligned} \text{SD absorbansi} &= \sqrt{\frac{(0,945-0,951)^2 + (0,945-0,981)^2 + (0,945-0,904)^2}{3-1}} \\ &= 0,031 \end{aligned}$$

Lampiran 5.2. Perhitungan linearitas pada larutan seri konsentrasi AmB dalam jaringan otak

Tabel 11. Absorbansi hasil pengukuran larutan konsentrasi AmB dalam jaringan otak

Konsentrasi ($\mu\text{g/mL}$)	Abs 1	Abs 2	Abs 3
32	0,939	0,970	0,893
16	0,460	0,465	0,465
8	0,244	0,252	0,233
4	0,129	0,122	0,129
2	0,055	0,061	0,071
1	0,027	0,030	0,043

$$\text{Rata - rata absorbansi} = \frac{0,939+0,970+0,893}{3} = 0,934$$

$$\begin{aligned} \text{SD absorbansi} &= \sqrt{\frac{(0,934-0,939)^2 + (0,934-0,970)^2 + (0,934-0,893)^2}{3-1}} \\ &= 0,038 \end{aligned}$$

Lampiran 6. Perhitungan *Limit of Detection* (LOD) dan *Lower Limit of Quantification* (LLOQ)

Tabel 12. Penentuan LOD dan LLOQ AmB

Penentuan LOD dan LLOQ					
	b	0,0315		a	0,0081
	kons.	y avg	y'	y avg - y'	(y avg - y') ²
	32	1,012	1,0161	-0,0041	0,00001681
	16	0,520	0,5121	0,0079	0,0000624
	8	0,260	0,2601	-0,0001	0,0000001
	4	0,130	0,1341	0,0041	0,00001681
	2	0,069	0,0711	0,0021	0,00000441
	1	0,039	0,0396	0,0006	0,00000036
avg	10,5				0,00001680
					0,00000336
					0,00000168
Sy	0,005				
LOD	0,53				
LLOQ	1,64				
LQC	4				
MQC	12				
HQC	24				

Lampiran 7. Uji Akurasi dan Presisi

Tabel 13. Absorbansi hasil pengukuran pada uji akurasi dan presisi AmB dalam jaringan mukosa hidung

<i>Interday</i>				
	Konsentrasi	Abs1	Abs2	Abs3
LLOQ	1,64	0,057	0,062	0,063
LQC	4	0,138	0,125	0,138
MQC	12	0,397	0,437	0,375
HQC	24	0,758	0,844	0,703
LLOQ	1,64	0,060	0,064	0,062
LQC	4	0,132	0,118	0,138
MQC	12	0,413	0,433	0,383
HQC	24	0,758	0,764	0,656
LLOQ	1,64	0,067	0,062	0,058
LQC	4	0,141	0,132	0,127
MQC	12	0,399	0,431	0,401
HQC	24	0,766	0,764	0,679
<i>Intraday</i>				
	Konsentrasi	Abs1	Abs2	Abs3
LLOQ	1,64	0,060	0,058	0,062
LQC	4	0,132	0,138	0,134
MQC	12	0,419	0,436	0,375
HQC	24	0,711	0,764	0,671
LLOQ	1,64	0,057	0,060	0,063
LQC	4	0,125	0,132	0,138
MQC	12	0,425	0,444	0,374
HQC	24	0,771	0,794	0,696
LLOQ	1,64	0,064	0,064	0,067
LQC	4	0,127	0,130	0,133
MQC	12	0,420	0,456	0,387
HQC	24	0,784	0,774	0,680

Contoh perhitungan akurasi dan presisi pada larutan konsentrasi LLOQ

Persamaan regresi yang telah diperoleh yaitu $Y = 0,0315X + 0,0081$, sehingga

$$\begin{aligned}
 1. \text{ Konsentrasi yang ditemukan (X)} &= \frac{Y - 0,0081}{0,0315} \\
 &= \frac{0,057 - 0,0081}{0,0315} \\
 &= 1,57
 \end{aligned}$$

$$\begin{aligned}
 2. \text{ Konsentrasi yang ditemukan (X)} &= \frac{Y-0,0081}{0,0315} \\
 &= \frac{0,062-0,0081}{0,0315} \\
 &= 1,70
 \end{aligned}$$

$$\begin{aligned}
 3. \text{ Konsentrasi yang ditemukan (X)} &= \frac{Y-0,0081}{0,0315} \\
 &= \frac{0,063-0,0081}{0,0315} \\
 &= 1,73
 \end{aligned}$$

$$\text{Rata - rata} = \frac{1,57+1,70+1,73}{3} = 1,67$$

$$\text{SD} = \frac{\sqrt{(1,67-1,57)^2 + (1,67-1,70)^2 + (1,67-1,73)^2}}{3-1}$$

$$= 0,09$$

$$\begin{aligned}
 \%RSD &= \frac{\text{SD}}{\text{Rata-rata}} \times 100 \\
 &= \frac{0,09}{1,67} \times 100
 \end{aligned}$$

$$= 5,33$$

$$\%RE = \frac{\text{Kons.yang ditemukan}-\text{kons.yang sebenarnya}}{\text{Kons. yang sebenarnya}} \times 100$$

$$= \frac{1,67-1,64}{1,64} \times 100$$

$$= 1,65$$

Lampiran 8. Perhitungan *Dilution Integrity*

Tabel 14. Absorbansi hasil pengukuran *dilution integrity* pada larutan AmB dalam jaringan mukosa hidung

Uji pengenceran	Konsentrasi	Abs1	Abs2	Abs3
5 kali	5	0,155	0,148	0,152
10 kali	10	0,302	0,311	0,298

Tabel 15. Absorbansi hasil pengukuran *dilution integrity* pada larutan AmB dalam jaringan otak

Uji pengenceran	Konsentrasi	Abs1	Abs2	Abs3
5 kali	5	0,147	0,140	0,148
10 kali	10	0,286	0,295	0,292

Contoh perhitungan *dilution integrity* pada larutan AmB dalam jaringan mukosa
Persamaan regresi yang telah diperoleh yaitu $Y = 0,0315X + 0,0081$, sehingga

$$1. \text{ Konsentrasi yang ditemukan (X)} = \frac{Y - 0,0081}{0,0315}$$

$$= \frac{0,172 - 0,0081}{0,0315}$$

$$= 5,20$$

$$2. \text{ Konsentrasi yang ditemukan (X)} = \frac{Y - 0,0081}{0,0315}$$

$$= \frac{0,165 - 0,0081}{0,0315}$$

$$= 4,98$$

$$3. \text{ Konsentrasi yang ditemukan (X)} = \frac{Y - 0,0081}{0,0315}$$

$$= \frac{0,169 - 0,0081}{0,0315}$$

$$= 5,11$$

$$\text{Rata - rata} = \frac{5,20 + 4,98 + 5,11}{3} = 5,10$$

$$\text{SD} = \sqrt{\frac{(5,10 - 5,20)^2 + (5,10 - 4,98)^2 + (5,10 - 5,11)^2}{3 - 1}}$$

$$= 0,11$$

$$\% \text{RSD} = \frac{\text{SD}}{\text{Rata-rata}} \times 100$$

$$= \frac{0,11}{5,10} \times 100$$

$$= 2,19$$

$$\% \text{RE} = \frac{\text{Kons.yang ditemukan} - \text{kons.yang sebenarnya}}{\text{Kons. yang sebenarnya}} \times 100$$

$$= \frac{5,10 - 5}{5} \times 100$$

$$= 1,95$$

Lampiran 9. Analisis Statistik

Lampiran 9.1. Analisis statistik penentuan metode ekstraksi jaringan mukosa hidung

Tabel 16. Hasil pengujian normalitas secara statistik

Metode		Kolmogorov-Smirnov ^a			Shapiro-Wilk		
		Statistic	df	Sig.	Statistic	df	Sig.
Ekstraksi Mukosa Hidung	Metode A Metanol	,194	3	.	,997	3	,888
	Metode B Metanol	,192	3	.	,997	3	,893
	Metode C Metanol	,178	3	.	1,000	3	,959
	Metode D Metanol	,336	3	.	,857	3	,259
	Metode A Asetonitril	,255	3	.	,963	3	,630
	Metode B Asetonitril	,323	3	.	,879	3	,322
	Metode C Asetonitril	,309	3	.	,901	3	,387
	Metode D Asetonitril	,379	3	.	,765	3	,034

a. *Lilliefors Significance Correction*

Tabel 17. Ringkasan uji *Independent-Samples* Kruskal-Wallis

<i>Independent-Samples</i> Kruskal-Wallis Test Summary	
Total N	24
Test Statistic	21,826 ^a
Degree Of Freedom	7
Asymptotic Sig.(2-sided test)	,003

a. *The test statistic is adjusted for ties.*

Tabel 18. Hasil perbandingan signifikansi antar metode

<i>Sample 1-Sample 2</i>	<i>Test Statistic</i>	<i>Std. Error</i>	<i>Std. Test Statistic</i>	<i>Sig.</i>	<i>Adj. Sig.^a</i>
Metode A Asetonitril-Metode B Asetonitril	-1,167	5,772	-,202	,840	1,000
Metode A Asetonitril-Metode C Asetonitril	-5,500	5,772	-,953	,341	1,000
Metode A Asetonitril-Metode A Metanol	7,333	5,772	1,270	,204	1,000
Metode A Asetonitril-Metode D Asetonitril	-11,333	5,772	-1,963	,050	1,000
Metode A Asetonitril-Metode B Metanol	13,667	5,772	2,368	,018	,501
Metode A Asetonitril-Metode C Metanol	18,000	5,772	3,118	,002	,051
Metode A Asetonitril-Metode D Metanol	19,000	5,772	3,292	,001	,028
Metode B Asetonitril-Metode C Asetonitril	-4,333	5,772	-,751	,453	1,000
Metode B Asetonitril-Metode A Metanol	6,167	5,772	1,068	,285	1,000
Metode B Asetonitril-Metode D Asetonitril	-10,167	5,772	-1,761	,078	1,000
Metode B Asetonitril-Metode B Metanol	12,500	5,772	2,166	,030	,850
Metode B Asetonitril-Metode C Metanol	16,833	5,772	2,916	,004	,099
Metode B Asetonitril-Metode D Metanol	17,833	5,772	3,089	,002	,056
Metode C Asetonitril-Metode A Metanol	1,833	5,772	,318	,751	1,000
Metode C Asetonitril-Metode D Asetonitril	-5,833	5,772	-1,011	,312	1,000
Metode C Asetonitril-Metode B Metanol	8,167	5,772	1,415	,157	1,000
Metode C Asetonitril-Metode C Metanol	12,500	5,772	2,166	,030	,850
Metode C Asetonitril-Metode D Metanol	13,500	5,772	2,339	,019	,542
Metode A Metanol-Metode D Asetonitril	-4,000	5,772	-,693	,488	1,000
Metode A Metanol-Metode B Metanol	-6,333	5,772	-1,097	,273	1,000
Metode A Metanol-Metode C Metanol	-10,667	5,772	-1,848	,065	1,000
Metode A Metanol-Metode D Metanol	-11,667	5,772	-2,021	,043	1,000
Metode D Asetonitril-Metode B Metanol	2,333	5,772	,404	,686	1,000

Metode D Asetonitril-	6,667	5,772	1,155	,248	1,000
Metode C Metanol					
Metode D Asetonitril-	7,667	5,772	1,328	,184	1,000
Metode D Metanol					
Metode B Metanol-	-4,333	5,772	-,751	,453	1,000
Metode C Metanol					
Metode B Metanol-	-5,333	5,772	-,924	,356	1,000
Metode D Metanol					
Metode C Metanol-	-1,000	5,772	-,173	,862	1,000
Metode D Metanol					

Lampiran 9.2. Analisis statistik penentuan metode ekstraksi jaringan otak

Tabel 19. Hasil pengujian normalitas secara statistik

		Kolmogorov-Smirnov ^a			Shapiro-Wilk		
Metode		Statistic	df	Sig.	Statistic	df	Sig.
Ekstraksi	Metode A Metanol	,193	3	.	,997	3	,890
Otak Tikus	Metode B Metanol	,193	3	.	,997	3	,892
	Metode C Metanol	,178	3	.	1,000	3	,959
	Metode D Metanol	,350	3	.	,830	3	,188
	Metode A Asetonitril	,251	3	.	,966	3	,645
	Metode B Asetonitril	,323	3	.	,878	3	,319
	Metode C Asetonitril	,247	3	.	,969	3	,662
	Metode D Asetonitril	,379	3	.	,765	3	,035

a. Lilliefors Significance Correction

Tabel 20. Ringkasan Uji *Independent-Samples* Kruskal-Wallis

Independent-Samples Kruskal-Wallis Test Summary

Total N	24
Test Statistic	21,800 ^a
Degree Of Freedom	7
Asymptotic Sig.(2-sided test)	,003

a. The test statistic is adjusted for ties.

Tabel 21. Hasil perbandingan signifikansi antar metode

<i>Sample 1-Sample 2</i>	<i>Test</i>		<i>Std. Test</i>		
	<i>Statistic</i>	<i>Std. Error</i>	<i>Statistic</i>	<i>Sig.</i>	<i>Adj. Sig.^a</i>
Metode A Asetonitril- Metode B Asetonitril	-1,000	5,774	-,173	,862	1,000
Metode A Asetonitril- Metode A Metanol	6,333	5,774	1,097	,273	1,000
Metode A Asetonitril- Metode C Asetonitril	-6,667	5,774	-1,155	,248	1,000
Metode A Asetonitril- Metode D Asetonitril	-11,333	5,774	-1,963	,050	1,000
Metode A Asetonitril- Metode B Metanol	13,667	5,774	2,367	,018	,502
Metode A Asetonitril- Metode C Metanol	18,333	5,774	3,175	,001	,042
Metode A Asetonitril- Metode D Metanol	18,667	5,774	3,233	,001	,034
Metode B Asetonitril- Metode A Metanol	5,333	5,774	,924	,356	1,000
Metode B Asetonitril- Metode C Asetonitril	-5,667	5,774	-,981	,326	1,000
Metode B Asetonitril- Metode D Asetonitril	-10,333	5,774	-1,790	,073	1,000
Metode B Asetonitril- Metode B Metanol	12,667	5,774	2,194	,028	,791
Metode B Asetonitril- Metode C Metanol	17,333	5,774	3,002	,003	,075
Metode B Asetonitril- Metode D Metanol	17,667	5,774	3,060	,002	,062
Metode A Metanol- Metode C Asetonitril	-,333	5,774	-,058	,954	1,000
Metode A Metanol- Metode D Asetonitril	-5,000	5,774	-,866	,386	1,000
Metode A Metanol- Metode B Metanol	-7,333	5,774	-1,270	,204	1,000
Metode A Metanol- Metode C Metanol	-12,000	5,774	-2,078	,038	1,000
Metode A Metanol- Metode D Metanol	-12,333	5,774	-2,136	,033	,915
Metode C Asetonitril- Metode D Asetonitril	-4,667	5,774	-,808	,419	1,000
Metode C Asetonitril- Metode B Metanol	7,000	5,774	1,212	,225	1,000

Metode C Asetonitril-	11,667	5,774	2,021	,043	1,000
Metode C Metanol					
Metode C Asetonitril-	12,000	5,774	2,078	,038	1,000
Metode D Metanol					
Metode D Asetonitril-	2,333	5,774	,404	,686	1,000
Metode B Metanol					
Metode D Asetonitril-	7,000	5,774	1,212	,225	1,000
Metode C Metanol					
Metode D Asetonitril-	7,333	5,774	1,270	,204	1,000
Metode D Metanol					
Metode B Metanol-	-4,667	5,774	-,808	,419	1,000
Metode C Metanol					
Metode B Metanol-	-5,000	5,774	-,866	,386	1,000
Metode D Metanol					
Metode C Metanol-	-,333	5,774	-,058	,954	1,000
Metode D Metanol					

Lampiran 10. Dokumentasi Penelitian**Gambar 5.** Penyiapan larutan stok AmB**Gambar 6.** Pengukuran menggunakan spektrofotometer UV-Vis**Gambar 7.** Pemisahan ekstrak menggunakan *vortex***Gambar 8.** Bubur jaringan mukosa hidung babi